

## フーリエ限界ナノ秒パルス光源の開発と紫外・可視高分解能分光への応用

(分子研・光分子科学) ○須磨航介、長谷川宗良、大島康裕

【序】 単一量子状態分布の実現は、原子・分子の物理化学にとって魅力的なテーマの一つである。マクロなサイズの分子集団に対し”state-to-state chemistry”を行うことや、化学反応の制御、超高感度分光、量子情報など、その応用範囲は極めて広い。単一の量子状態の実現には、いくつかの方法が提案されているが、実験的な制約などを考慮すると、誘導ラマン断熱通過(STIRAP)法が、最も実用的かつ有効な手法の一つと考えられている。STIRAPでは、コヒーレンスが良い2つのパルス光 (Pump, Dump) を用意し、両者間の遅延を適切に調節し、時間的、空間的に重ねて照射することで、中間状態(図1の  $S_1$ ) の分布をゼロとしたまま始状態から終状態へ断熱的に分布を移動させる。STIRAPは、既に理論的には検証済みであり、いくつかの簡単な系について、その有用性が示されている [1, 2]。

分子錯体に STIRAP を適用できれば、電子基底状態における分子間振動準位構造を、詳細に研究することが可能となると期待できる。電子基底状態の振動準位構造調べる手法としては、誘導放出分光法(SEP)等がよく用いられるが、SEP では終状態へ最大で 25% の分布が移動されるのに対し、STIRAP は、100% 状態分布を移動することが可能であるため、SEP に比べ本質的に高感度の分光法である。

我々は STIRAP をベンゼン錯体(ベンゼン 2 量体、ベンゼン-水 1 : 1 錯体)に適用することで、その分子間振動準位構造を決定し、それをもとに詳細な分子間相互作用ポテンシャルを決定することを目標とし、必要な装置開発を行った。

【実験】 STIRAP を行うには、十分にコヒーレンスの良い、フーリエ変換限界に近い光源が必要となる。光学系の構成図を図2に示す。DPSS レーザー励起の cw チタンサファイアレーザーからのシード光を YAG レーザー(532 nm、240 mJ/pulse)励起の色素アングルで增幅し、パルス状の赤外光 (~780 nm、

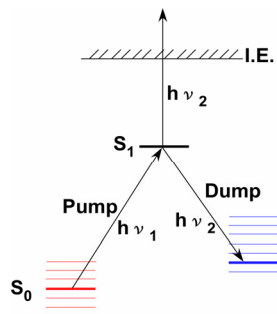


図1 STIRAP のエネルギー準位構成

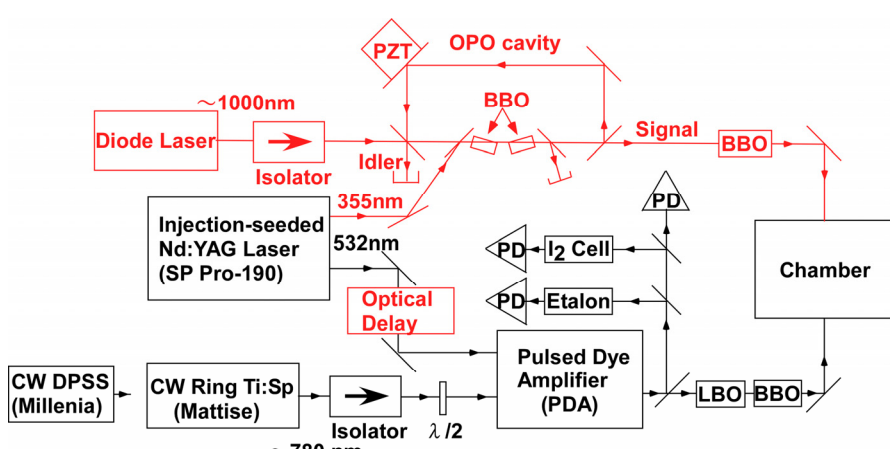


図2 STIRAP の光学系。赤線部分は現在開発中の Dump 光源部分

20 mJ/pulse) を発生させた。この基本波の線幅は約 210 MHz であり(図 3)、パルス幅 (~4 ns) から見積もられるフーリエ変換限界 (110 MHz) の約 2 倍程度であった。

さらにパルス赤外光を非線形結晶 (LBO、BBO) により 3 倍波 (~260 nm、0.6 mJ/pulse) に変換し、ベンゼンやベンゼン錯体の  $S_1 \leftarrow S_0$  遷移に対応する紫外光を得た。これを用い、共鳴 2 光子イオン化により、ベンゼンの  $S_1 \leftarrow S_0$  遷移の高分解能スペクトルの観測を行った(図 4)。図 3 (b) に示したように、ベンゼンの単一の回転線の線幅は約 350 MHz であり、3 倍波についてもフーリエ変換限界に近いパルスが発生していると結論できる。さらに、 $^{20}\text{Ne}$ -ベンゼン 1 : 1 錯体の  $S_1 \leftarrow S_0$  遷移の観測を行った(図 5)。ベンゼン単体の信号に比べてかなり弱いものの十分な S/N で信号を観測でき、クラスターに対しても十分な検出感度が持つことを確かめられた。現在ベンゼン-水 1 : 1 錯体の  $S_1 \leftarrow S_0$  遷移の観測を試みており、発表ではその結果についても報告する予定である。

**【展望】**引き続き Dump 光の光源(図 2 の赤線で示した部分)の開発を行う。Dump 光の発生には、半導体レーザーの光をシード光とした、光パラメトリック発振(OPO)を用いる。OPO で得られる signal 光から BBO 結晶により倍波を発生させ、Dump 光を得る。

これらの光源を開発した後に、ベンゼン-水 1 : 1 錯体に対し、STIRAP あるいは、その応用である高分解能イオンディップ分光法[2]を適用し、電子基底状態における振動準位構造を明らかにしたい。

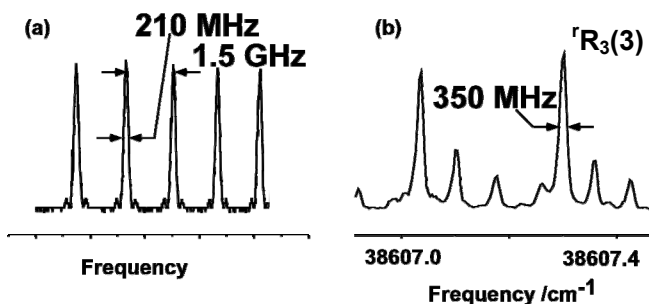


図 3 基本波のエタロンのフリンジ(a)と 3 倍波を用いて測定したベンゼンの電子遷移(b)

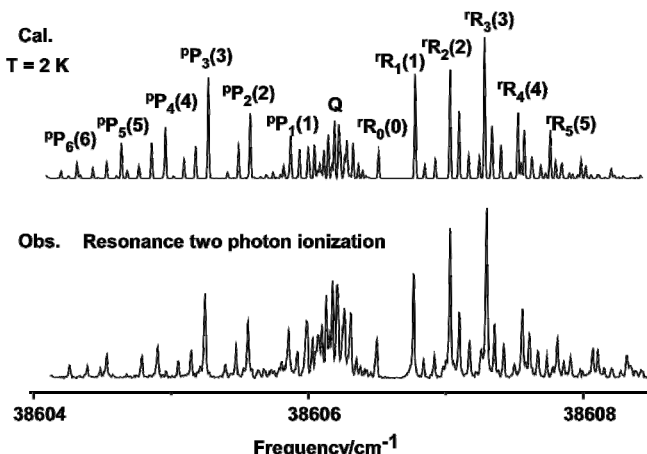


図 4 ベンゼンの  $S_1 \leftarrow S_0$   $6^+$  遷移: シミュレーション(上)と実測(下)

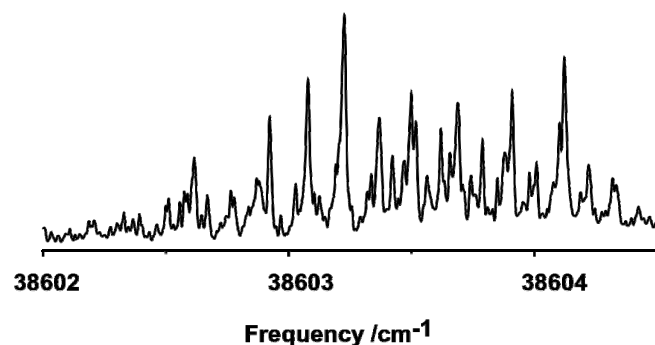


図 5  $^{20}\text{Ne}$ -ベンゼン錯体の  $S_1 \leftarrow S_0$   $6^+$  遷移

<sup>1</sup> U. Gaubatz, P. Rudecki, S. Schiemann, and K. Bergmann, J. Chem. Phys. **92**, 5363 (1990).

<sup>2</sup> R. Sussmann, R. Neuhauser, and H. J. Neusser, J. Chem. Phys. **100**, 4784 (1994).